本文引用格式:杨鹤,牛三强,陈东颖.子痫前期孕妇血清 miR-204及 HIF-1 $\alpha$ 水平对病情的预测价值[J].安徽 医学,2023,44(5):582-585.**DOI**:10.3969/j.issn.1000-0399.2023.05.020

# 子痫前期孕妇血清 miR-204 及 $HIF-1\alpha$ 水平对病情的预测价值

杨 鹤 牛三强 陈东颖

[摘 要]目的 探讨子痫前期(PE)孕妇血清 miR-204及低氧诱导因子 lα(HIF-lα)水平对其病情的判定价值。方法 回顾性分析 2018年7月至 2021年6月亳州市人民医院收治的 60 例 PE 孕妇的临床资料为观察组,根据患者病情严重程度分为轻度 PE 组 44 例和重度 PE 组 16 例,另选取同期在医院行常规孕检的 52 例健康孕妇为对照组。比较 3 组孕妇孕 10~13 周血清 miR-204、HIF-lα水平。通过单因素、多因素 logistic 回归分析分析 PE 孕妇病情为重度的影响因素。制作受试者工作特征(ROC)曲线分析血清 miR-204,HIF-lα水平对重度 PE 的预测价值。结果 重度 PE 组血清 miR-204、HIF-lα水平高于轻度 PE 组及对照组,且轻度 PE 组血清 miR-204、HIF-lα水平高于对照组,差异均有统计学意义(P<0.05);logistic 多因素回归分析显示,血清 miR-204、HIF-lα水平为 PE 孕妇病情为重度的危险因素(P<0.05);ROC 曲线分析显示,血清 miR-204、HIF-lα水平预测 PE 孕妇病情为重度的 AUC 值(95%CI)分别为 0.818(0.697~0.906)、0.805(0.682~0.896)(P<0.05)。结论 PE 孕妇血清 miR-204及 HIF-lα水平与其病情严重程度密切相关,且对判定 PE 孕妇病情为重度有较高的临床价值。

[**关键词**]miR-204;低氧诱导因子 $1\alpha$ ;子痫前期;妊娠;病情严重程度 doi:10.3969/j. issn. 1000-0399. 2023. 05. 020

子痫前期(pre-eclampsia, PE)是妊娠期常见的并 发症,其发病率较高,预后较差[1-2]。目前临床上尚缺 乏有效的生物学标志物来评估 PE 孕妇病情[3-4]。研 究[5-7]表明,miRNA表达与肺癌、胃癌、肝癌等多种疾病 的发生及发展紧密联系。miR-204 为 miRNAs 中重要 的一员,是一种临床上常见的抗癌基因,其在视网膜 瘤、神经胶质瘤等多种恶性肿瘤中表达下调,其参与细 胞分化、生长发育等多个生物学过程[8]。研究指出, miR-204 在 PE 孕妇胎盘组织中表达异常升高[9]。低 氧诱导因子 1α(hypoxia-conductible factor 1α, HIF-1α) 是一种转录因子,其可能参与 PE 的发生与发展[10]。但 miR-204、HIF-1α是否可用于评估PE孕妇病情尚缺 乏报道,为此,本文回顾性分析 60 例 PE 孕妇临床资 料,通过对照研究,分析 PE 孕妇血清 miR-204 及 HIF-1α 水平对 PE 病情的判定价值, 旨为临床寻求有效的 生物标志物评估 PE 孕妇病情提供参考依据。

#### 1 资料与方法

1.1 一般资料 回顾性分析 2018 年 7 月至 2021 年 6 月亳州市人民医院收治的 60 例 PE 孕妇的临床资料为观察组,根据患者病情严重程度分为轻度 PE 组 44 例和重度 PE 组 16 例,另选择同期在医院行常规孕检的52 例健康孕妇为对照组。3 组的一般资料比较,差异无统计学意义(P>0.05),具有可比性。见表 1。纳入

标准:①观察组患者均符合《妇产科学(第8版)》[11]中 PE 的诊断标准, 轻度 PE 组(怀孕 20 周之后发现血压 开始升高超过 140/90 mmHg (1 mmHg≈0.133 kPa),但 是不超过 160/110 mmHg, 查尿常规出现尿蛋白有 1+, 但是不超过2+,查24小时尿蛋白定量大于0.3g,但是 不超过 2 g), 重度 PE 组(在怀孕 20 周以后, 孕妇出现 高血压,收缩压大于160 mmHg,舒张压大于100 mmHg;尿 蛋白≥5.0 g/24 h 或随机蛋白尿≥(+++);患者出现持续 性头疼、头晕眼花、视物模糊;持续性上腹部疼痛;肝功 能异常,出现转氨酶升高:患者出现肾功能异常、少 尿)[11],均为终止妊娠后诊断;②所有研究对象均为单 胎妊娠且临床资料完整。排除标准:①合并自身免疫 性疾病者;②既往有早产、前置胎盘等不良妊娠结局 者;③合并原发性高血压疾病者;④合并妊娠期糖尿病 等其他妊娠期并发症者;⑤肝肾等脏器功能严重不全 者;⑥伴有血液病、结缔组织等慢性疾病者;⑦合并恶 性肿瘤者;⑧有烟酒等不良嗜好者。

1.2 方法 比较 3 组患者血清 miR-204、HIF-1α 水平;比较轻度 PE 组及重度 PE 组的临床资料,主要包括患者分娩孕周、孕前身体质量指数(body mass index, BMI)、初潮年龄、新生儿体质量、孕 10~13 周相关实验室指标[收缩压、舒张压、总胆固醇(total cholesterol, TC)、天门冬氨酸氨基转移酶(aspartame nontransferable, AST)、白蛋白、血肌酐、D-二聚体(D-dimer, DD)、

表1 3组一般资料比较( $\bar{x} \pm s$ )

组别	例数	年龄(岁)	孕次(次)	产次(例)	
	沙丁女人	十四(夕)	子(人(人)	初产	经产
对照组	52	31. 45±3. 27	3. 26±0. 20	35	17
轻度PE组	44	31.56±3.31	3. 29±0. 22	25	19
重度PE组	16	31.50±3.29	3. 31±0. 21	10	6
F值		0.013	0.450	1.	119
P值		0. 987	0. 639	0. 572	

谷丙转氨酶(aniline nontransferable, ALT)、总胆红素、肿瘤坏死因子-α(tumor necrosis factor-α, TNF-α)、尿酸、白细胞介素-6(interleukin-6, IL-6)、血清 miR-204、HIF-1α 水平]。将差异有统计学意义的指标纳入 Logistic 多因素回归分析,分析重度 PE 的影响因素;制作受试者工作特征曲线(receiver operating characteristic curve, ROC)分析血清 miR-204、HIF-1α 水平对 PE 轻重度的预测价值。

1.2.1 血清 miR-204、HIF-1α检测 于孕 10-13 周晨 采集孕妇空腹静脉血 5 mL,通过实时荧光定量 PCR 法测定血清 miR-204 水平。取血浆样本解冻,提取总 RNA,通过紫色分光光度计测量 RNA 吸光度,通过逆转录试剂盒实施逆转录,产生 DNA,在聚合酶作用下扩增,扩增条件:95°C预变性 15 min,95°C变性 15 s,60°C退火 30 s,72°C延伸 30 s,共 42 个循环。通过荧光定量 PCR 仪(SLAN型,上海宏石医疗)检测,每个反应 3 个复孔,以 U6 为内参,计算平均值(测量 3 次),使用 2<sup>ΔΔα</sup>法计算血清 miR-204 相对表达量。U6 正向引物为5°-CIGGCCTCGCCAGCCACGT-3°, 应向引物为5°-GCCGGATTCACAGTTGCCTACAGTATTCA-3°, 正明物为5°-GCCAGATCTCGCAAGAAGATATCGTGGTTAGT-3°。

1.2.2 实验室指标检测 采用 BK-200 型全自动生化 分析仪(山东博科)检测 TC、AST、白蛋白、24 h 尿蛋白 定量、ALT、D-D、总胆红素、尿酸,采用酶联免疫吸附法 测定血肌酐、TNF-a、IL-6。

1.3 统计学方法 采用 SPSS 22.0 软件进行统计学分析,以 $\bar{x} \pm s$  表示正态分布的计量资料,两组均数比较行 t 检验,多组均数比较,采用 F 检验;以例或百分比表示计数资料,行  $\chi^2$  检验。以 P<0.05 为差异有统计学意义。

### 2 结果

2.1 3组血清 miR-204、 $HIF-1\alpha$  水平比较 3组血清 miR-204、 $HIF-1\alpha$  水平比较,差异有统计学意义(P<0.05)。其中重度 PE 组血清 miR-204、 $HIF-1\alpha$  水平均 高于轻度 PE 组、对照组,轻度 PE 组血清 miR-204、

HIF-1 $\alpha$  水平高于对照,差异均有统计学意义(P<0.05)。见表 2。

表 2 3组血清 miR-204、HIF-1 $\alpha$ 水平比较( $\bar{x} \pm s$ )

组别	例数	miR-204	$HIF1\alpha(pg/L)$
对照组	52	1. 05±0. 24	593. 84±42. 75
轻度 PE组	44	2. 12±0. 35 <sup>①</sup>	736. 29±53. 17 <sup>①</sup>
重度 PE组	16	2. 69±0. 47 <sup>①②</sup>	815. 72±60. 83 <sup>①②</sup>
F值		214. 860	165. 333
P值		< 0.001	< 0.001

注:与对照组比较, $^{0}P$ <0.05;与轻度PE组比较, $^{2}P$ <0.05; HIF-1 $\alpha$ 为低氧诱导因子  $1\alpha$ 。

- 2.2 轻度 PE 组与重度 PE 组临床资料比较 重度 PE 组尿酸、IL-6、血清 miR-204、HIF-1α 水平均高于轻度 PE 组,差异有统计学意义(*P*<0.05)。见表 3。
- 2.3 重度 PE 的多因素 logistic 回归分析 以 PE 严重程度为因变量(赋值:重度=1,轻度=0),以尿酸、IL-6、血清 miR-204、HIF-1 $\alpha$  为自变量进行 logistic 多因素回归分析(赋值:尿酸、IL-6、血清 miR-204、HIF-1 $\alpha$  均为连续变量),结果显示,血清 miR-204、HIF-1 $\alpha$  水平为影响 PE 严重程度的危险因素 (P<0.05)。见表 4。
- 2.4 血清 miR-204, HIF-1 $\alpha$  水平对 PE严重程度的预测价值 以(1-特异度)为横坐标代表假阳性率,以敏感性为纵坐标代表真阳性率,绘制 ROC 曲线,结果显示,血清 miR-204, HIF-1 $\alpha$  水平预测 PE 孕妇病情为重度的的 AUC 值(95%CI)分别为 0.818(0.697~0.906)、0.805(0.682~0.896)(P<0.05)。见表 5,图 1。

## 3 讨论

近年来, PE 的发生率呈逐年上升的趋势<sup>[12]</sup>。若 PE 疾病进一步恶化,严重时能够造成心脏衰竭、肝肾障碍等多种并发症,并且会造成胎儿脑瘫、生长受限等多种不良妊娠结局<sup>[13-14]</sup>。本文探讨 PE 孕妇血清 miR-204 及低氧诱导因子 1α(HIF-1α)水平对其病情的判定价值,旨为临床寻求灵敏度高,方便快捷早期评估 PE 病情的生物学标志物提供参考依据。

本研究结果显示,重度 PE 组血清 miR-204、HIF-1α 水平显著高于轻度 PE 组、对照组(P<0.05),轻度 PE 组血清 miR-204、HIF-1α 水平显著高于对照组(P<0.05),表明相比于健康孕妇,PE 孕妇血清 miR-204、HIF-1α 水平异常升高。logistic 多因素回归分析显示,血清 miR-204、HIF-1α 水平为 PE 孕妇病情为重度的的危险因素。研究[15-16]指出,miR-204 能够调节乳腺癌细胞的代谢、生长以及转移;miR-204 能够抑制肝癌细胞增殖。有研究[17]指出,在 PE 孕妇胎盘组织中 miR-204 水平异常升高,其可通过下调基质金属蛋白酶-9

表3	轻度 PE 组与重度 PE 组临床资料比较 $(\bar{x} \pm s)$

临床资料	重度PE组(n=16)	轻度 PE组(n=44)	t值	P值
分娩孕周(周)	37. 53±2. 58	37. 94±2. 67	0. 408	0. 685
孕前 BMI(kg/m²)	24. 24±2. 66	24. 40±2. 86	0. 273	0. 786
初潮年龄(岁)	13. 31±1. 62	13. 00±1. 26	0. 509	0. 613
新生儿体质量(kg)	3. 04±0. 73	2. 99±0. 64	1. 225	0. 226
收缩压(mmHg)	143. 26±12. 38	142. 79±12. 21	0. 131	0. 896
舒张压(mmHg)	93. 82±8. 15	93. 51±8. 29	0. 129	0. 898
TC(mol/L)	4. 93±0. 62	4.71±0.53	1. 359	0. 180
AST(U/L)	30. 69±5. 72	30. 42±5. 81	0. 160	0. 874
白蛋白(g/L)	28. 72±4. 39	28. 43±4. 52	0. 221	0. 826
血肌酐(mol/L)	2. 52±0. 36	2. 61±0. 39	0.806	0. 424
DD(mg/L)	0. 13±0. 02	0. 14±0. 03	1. 234	0. 222
ALT(U/L)	23. 79±4. 65	23. 52±4. 73	0. 196	0. 845
总胆红素(moll/L)	9.89±1.82	9. 63±1. 75	0. 504	0. 616
$TNF\text{-}\alpha(ng\!/\!L)$	53. 97±4. 65	53. 61±4. 43	0. 275	0. 784
尿酸(mol/L)	388. 54±65. 73	332. 17±52. 35	3. 441	0.001
IL-6(ng/L)	674. 82±38. 59	621. 35±34. 26	5. 169	< 0.001
血清 miR-204	2. 62±0. 43	2. 25±0. 36	3. 341	0.001
血清 HIF-1α(pg/L)	796. 83±46. 57	757. 60±40. 39	3. 194	0. 002

注:BMI为身体质量指数,TC表示总胆固醇,AST表示天门冬氨酸氨基转移酶,D-D表示D-二聚体,ALT表示谷丙转氨酶,TNF-a表示肿瘤坏死因子 $\alpha$ ,IL-6表示白细胞介素-6,HIF-1 $\alpha$ 表示低氧诱导因子1 $\alpha$ 。

表 4 PE 孕妇病情为重度的多因素 logistic 回归分析

因素	回归系数	标准误	Wald $\chi^2$ 值	P值	OR值	95%CI
常数项	-7. 563	3. 851	3. 857	< 0.001	0. 001	_
血清 miR-204	1. 381	0.496	7. 752	< 0.001	3. 979	1. 637~9. 670
血清 HIF-1α	1. 127	0.519	4. 715	< 0.001	3. 086	1. 270~7. 500
尿酸	-0. 983	0. 542	3. 289	< 0.001	0. 374	0. 164~0. 851
IL-6	-0.452	0. 389	1. 350	0. 127	0. 636	0. 280~1. 448

注:IL-6表示白细胞介素-6。

表 5 血清 miR-204、 $HIF-1\alpha$  水平对 PE 孕妇病情为重度的预测价值

指标	最佳截断点	灵敏度(%)	特异度(%)	P值	AUC	95%CI	约登指数
血清 miR-204	2. 19	81. 25	81. 82	< 0.001	0.818	0. 697~0. 906	0. 631
血清 HIF-1α	796. 17pg/L	81. 25	84. 09	< 0.001	0.805	0. 682~0. 896	0. 653

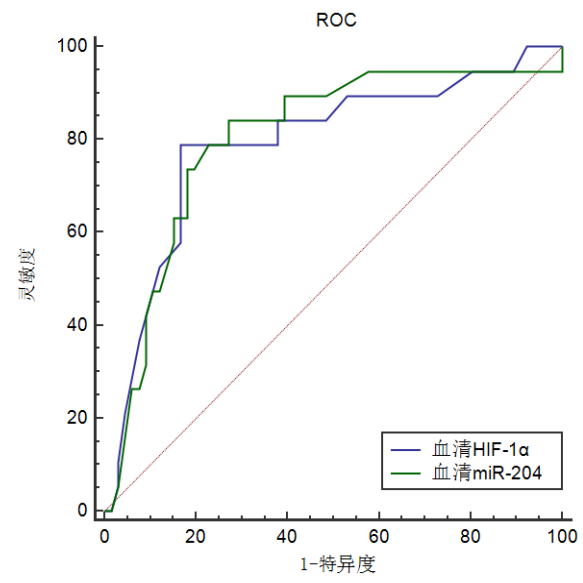
的表达来使滋养细胞的侵袭与增殖功能降低,且其与PE 的发生密切相关。相关研究<sup>[18]</sup>表明,PE 孕妇胎盘局部的含氧量与滋养细胞的浸润密切相关,含氧量下降能够诱导新生儿窒息等多种不良妊娠结局,从而加重患者病情。缺氧能够诱导细胞生成 HIF-1α 与多种生成素及受体,并可形成靶基因引起的蛋白产物,该蛋白产物于血管发生与调节功能密切相关,可调节 PE 孕妇对缺氧的适应性与耐受性,因含氧量下降,滋养细胞对子宫内膜的浸润受到抑制,从而诱导 PE 的发生<sup>[19]</sup>。国内有研究<sup>[20]</sup>表明,血清 HIF-1α 水平能够反应 PE 孕

妇的病情进展程度,与患者的预后密切相关。此外,既往虽有研究表明,miR-204, $HIF-1\alpha$ 参与 PE 的发生与发展,但尚缺乏 ROC 分析 miR-204, $HIF-1\alpha$  对 PE 孕妇病情的预测价值,本研究基于前人研究,结果显示,血清 miR-204, $HIF-1\alpha$  水平预测 PE 孕妇病情为重度的 AUC 值 (95%CI) 分别为 0.818 (0.697~0.906)、0.805 (0.682~0.896),提示血清 miR-204, $HIF-1\alpha$  水平在预测 PE 孕妇病情为重度中具有重要价值。

综上所述, PE 孕妇血清 miR-204, HIF-1α 水平与 其病情严重程度密切相关,且二指标对预测 PE 孕妇病

学

安



**图1** miR-204、HIF-1α 预测 PE 严重程度的 ROC 曲线

情为重度有重要价值。由于本研究纳入样本量有限, 研究结果可能存在一定的偏倚,有待后续扩大样本量 进一步验证。

#### 参考文献

- [1] NIRUPAMA R, DIVYASHREE S, JANHAVI P, et al. preeclampsia: pathophysiology and management[J].J Gynecol Obstet Hum Reprod, 2021, 50(2):101975.
- TURBEVILLE H R, SASSER J M. Preeclampsia beyond pregnancy: long-term consequences for mother and child[J]. Am J Physiol Renal Physiol, 2020,318(6):1315-1326.
- 李娟,高敏,马琳,等. 血清 miR-195、miR-152的水平与子痫 前期患者病情程度的关系研究及对PE发生风险的预测价 值[J]. 中国优生与遗传杂志,2020,28(12):1463-1466.
- IVES C W, SINKEY R, RAJAPREYAR I, et al. Preeclampsia-pathophysiology and clinical presentations: jacc state-of-the-art review[J]. J Am Coll Cardiol, 2020, 76 (14):1690-1702.
- [5] LI H, OUYANG Y, SADOVSKY E, et al. Unique microRNA signals in plasma exosomes from pregnancies complicated by preeclampsia[J]. Hypertension, 2020,75(3):762-771.
- [6] SKALIS G, KATSI V, MILIOU A, et al. MicroRNAs in preeclampsia[J]. Microrna, 2019, 8(1):28-35.
- [7] MA H Y, CU W, SUN Y H, et al. MiRNA-203a-3p inhibits inflammatory response in preeclampsia through regulating IL24[J].Eur Rev Med Pharmacol Sci, 2020,24(10):5223-5230.
- MEI Z, HUANG B, MO Y, et al. An exploratory study into the

- role of miR-204-5p in pregnancy-induced hypertension[J]. Exp Ther Med, 2017, 13(5):1711-1718.
- [9] ASADI-TARANI M, SARAVANI M, TEIMOORI B, et al. The relationships between maternal and placental polymorphisms of miR-196a2 and miRNA-499 genes and preeclampsia[J]. Br J Biomed Sci, 2020,77(4):191-195.
- [10] TIANTHONG W, PHUPONG V. Serum hypoxia-inducible factor-1alpha and uterine artery Doppler ultrasound during the first trimester for prediction of preeclampsia[J]. Sci Rep, 2021,11(1):6674.
- 谢幸,荀文丽. 妇产科学[M]. 8版. 北京:人民卫生出 [11] 版社,2013:78-82.
- [12] 郑凤英,孟文颖,马红梅. 2015—2019年北京通州地区妊 娠甲减合并子痫前期流行病学分析[J]. 公共卫生与预防 医学,2020,31(5):92-95.
- [13] PENG P, SONG H, XIE C, et al. miR-146a-5p-mediated suppression on trophoblast cell progression and epithelialmesenchymal transition in preeclampsia[J]. Biol Res, 2021, 54(1):30.
- [14] MATSUBARA K, MATSUBARA Y, UCHIKURA Y, et al. Pathophysiology of preeclampsia: the role of exosomes[J]. Int J Mol Sci,2021,22(5):2572.
- [15] JIANG G, WEN L, ZHENG H, et al. miR-204-5p targeting SIRT1 regulates hepatocellular carcinoma progression[J]. Cell Biochem Funct, 2016, 34(7):505-510.
- MEI Z, HUANG B, MO Y, et al. An exploratory study into the role of miR-204-5p in pregnancy-induced hypertension [J].Exp Ther Med,2017,13(5):1711-1718.
- [17] 王哲,陈媛媛,李花繁,等. 血清 TGF-β1、HIF-1α、sFlt-1 联 合检测在子痫前期患者中的临床意义[J]. 检验医学与临 床,2016,13(16):2283-2285.
- [18] 尹学敬,杨占辉.子痫前期患者血清中 miR-423-5p 和 miR-204-5p的表达及临床意义[J]. 实用医学杂志,2019, 35(21):3312-3315,3321.
- PALMER K R, KAITU'U-LINO T J, HASTIE R, et al. Placental-specific sflt-1 e15a protein is increased in preeclampsia, antagonizes vascular endothelial growth factor signaling, and has antiangiogenic activity[J]. Hypertension, 2015,66(6):1251-1259.
- [20] 王丽婷. HIF-1α、VEGF、sFlt-1在子痫前期患者胎盘组织 中的表达及临床意义[J]. 中国计划生育学杂志,2020,28 (3):366-369.

(2022-06-08 收稿) (本文编校:胡欣,蔡济寰)